

## مطالعه تشکیل کمپلکس دی‌اکسی وانادیم (V) با سرین و

## تعیین توابع ترمودینامیکی آن

دکتر حسین آقایی - گروه شیمی، دانشگاه تربیت معلم، تهران، ایران

دکتر فرخ قریب - گروه شیمی، دانشگاه شهید بهشتی، تهران، ایران

جعفر عابدینی - گروه شیمی، دانشگاه شهید بهشتی، تهران، ایران

## چکیده

با آنکه مقالاتی چند در مورد تشکیل کمپلکس‌های وانادیم (V)،  $\text{VO}_2^+$  با آمینو اسیدها و برهمکنش‌های لیگاند‌های بیولوژیکی با آن انتشار یافته است، اما نتایج کمی معدودی در خصوص آنها در اختیار می‌باشد. ما در این پژوهش، چگونگی تشکیل کمپلکس‌های دی‌اکسی وانادیم (V) را با DL سرین در گستره pH ۱ الی ۹ و قدرت یونی ۱ مول بر لیتر پرکلرات سدیم در چند دما به روش‌های اسپکتروفتومتری و پتانسیومتری مورد مطالعه قرار داده و برخی اطلاعات ترمودینامیکی و ثابت‌های پایداری برای دو کمپلکس از نوع My و  $\text{MY}_2^-$  را حساب کرده‌ایم.  $\gamma$  آنیون آمینوکرپوکسیلات را می‌رساند و  $\text{M}^+$  یون فلزی مورد نظر را نشان می‌دهد.

## مقدمه

در سالهای اخیر اهمیت و نقش ترکیبات وانادیم در بافتهای حیوانی و

گیاهی مورد توجه قرار گرفته است (۱ - ۱۵). با آنکه مطالعات زیادی در خصوص تشکیل کمپلکس‌های وانادیم صورت گرفته است، باز هم مسائل قابل پژوهش زیادی در ارتباط با آن در میان است (۱۶ - ۱۹). در این کار، تشکیل دو کمپلکس دی‌اکسی وانادیم با DL سرین از راه اسپکتروفتومتری در ناحیه UV و قدرت یونی یک مول بر لیتر پرکلرات سدیم در سه دما و در گستره pH ۱ الی ۹ مطالعه شده است و ثابت‌های پایداری و مقادیر  $\Delta S^\circ$ ،  $\Delta H^\circ$ ،  $\Delta G^\circ$  تشکیل گونه‌های کمپلکس تشکیل شده، تخمین زده شده است. ثابت پروتونه شدن سرین در شرایط آزمایش که برای تخمین ثابت پایداری کمپلکس‌های تشکیل شده لازم است، از راه پتانسیومتری تعیین گردیده است.

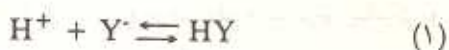
سرین علاوه بر دارا بودن گروه‌های کمپلکس دهنده معمولی که در آمینوکرپوکسیلیک اسیدها موجودند، یک عامل کمپلکس دهنده دیگر، RO، نیز دارا است. در مورد تفکیک یک پروتون از گروه هیدروکسیل سرین اطلاعات متفاوتی در اختیار است. برای pK آن، مقادیر ۱۱/۰۲

و الکتروود کالومل Ingold UO 3236 اندازه‌گیری شده است. برای اندازه‌گیری اسپکتروفتومتری، اسپکتروفتومتر UV - vis دو پرتوی Shimadzu 2100 - مجهز به یک کامپیوتر از نوع Shimadzu GDU - 20 C و یک حمام آب از نوع Shimadzu TB 85، با دقت  $\pm 0.1^\circ\text{C}$ ، مورد استفاده قرار گرفته است. محلول توسط یک پمپ مکنده، Sipper 260، و در یک سیکل بسته از ظرف واکنش که الکترودهای پتانسیومتر در آن قرار دارند به سل اسپکتروفتومتر و از آنجا به ظرف واکنش انتقال می‌یابد. بنابراین، جذب و pH محیط به طور همزمان در دمای ثابت قابل اندازه‌گیری بودند.

### نتایج تجربی و تفسیر آنها

#### ۱ - پروتونه شدن آمینو کربوکسیلیک اسید:

قبل از مطالعه سیستم "DL سرین -  $\text{VO}_2^+$ " ثابت پروتونه شدن سرین را در شرایط بالا تعیین نمودیم. واکنش پروتونه شدن عبارت است از



$$K_p = [\text{HY}] / [\text{H}^+] [\text{Y}^-] \quad (2)$$

ثابت پروتونه شدن،  $K_p$ ، از راه پتانسیومتری و با استفاده از یک کامپیوتری Harvard Graphic به روش غیر خطی به کار بستیم. حداقل مربعات تعیین گردیده است. (جدول ۱).

در قدرت یونی  $0.1$  مول بر لیتر نیترات پتاسیم (۱۹)،  $11/45$  در قدرت یونی یک مول بر لیتر پرکلرات سدیم (۲۰)،  $13/6$  در قدرت یونی نامشخص (۲۱) و بزرگتر از  $12$  در قدرت یونی  $2/25$  مول بر لیتر نیترات سدیم (۲۲) گزارش شده است. از این مقادیر و چگونگی تغییرات جذب بر حسب pH (شکل ۱) می‌توان نتیجه گرفت که شرکت گروه RO به عنوان عامل کمپلکس دهنده تقریباً غیر محتمل است.

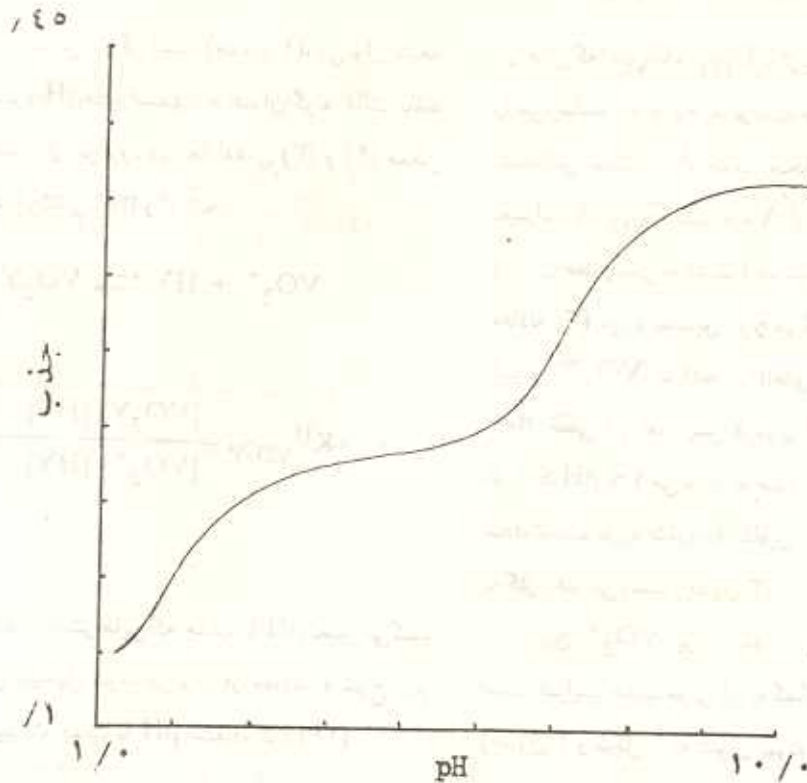
### بخش تجربی

#### مواد شیمیایی مورد استفاده:

اسید پرکلریک، پرکلرات سدیم و نیدروکسید سدیم با درجه خلوص بالا از شرکت Merck تهیه شدند. DL سرین و متاوانادات سدیم به ترتیب از شرکت‌های Aldrich - Chemie و Riedel - De Haenag و Seelze - Hannover تهیه شدند. محلول متاوانادات سدیم با سولفات آهن (II) استاندارد به روش تیتراسیون در مجاورت معرف (۲۳)، و همچنین اسیدپرکلریک و نیدروکسید سدیم به ترتیب با محلولهای استاندارد پتاسیم نیدروژن کربنات (۲۴) و اسیدپرکلریک تعیین غلظت شدند. در تمام آزمایشها از آب دو بار تقطیر شده با هدایت الکتریکی  $(\mu\text{ohm})^{-1} \pm 0.1/3$  استفاده شد.

#### دستگاهها:

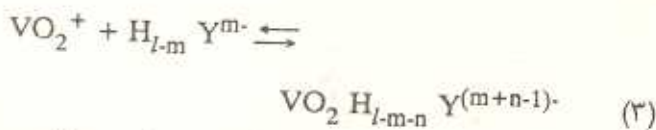
pH متر مورد استفاده از شرکت Eyela مدل PHM 2000 بوده است. غلظت یون نیدروژن توسط الکتروود شیشه‌ای Ingold UO 3234



شکل (۱) تغییرات جذب کمپلکس‌های سرین -  $VO_2^+$  بر حسب pH.

شد که جذب در گستره‌های  $1 \leq pH \leq 2/5$  و  $6 \leq pH \leq 9$  شدیداً با pH تغییر می‌کند (شکل ۱). بدینسان می‌توان تشکیل دوگونه کمپلکس را در گستره‌های یاد شده پیش‌بینی کرد.

واکنش میان یون دی‌اکسی وانادیم و آمینو اسیدها یا آنیونهای مربوط به آنها در نخستین مرحله مطابق معادله کلی زیر است



( $l$ ) - تعداد عاملهای کربوکسیل در مولکول آمینو اسید را می‌رساند.

ثابت تشکیل واکنش بالا به صورت زیر داده می‌شود

$$K_{VO_2 Y}^H = \frac{[VO_2 H_{l-m-n} Y^{(m+n-1)-}] [H^+]^n}{[VO_2^+] [H_{l-m} Y^{m-}]} \quad (4)$$

(در مورد سرین داریم  $l=1$ )

جدول ۱ ثابت پروتونه شدن سرین در سه دما و قدرت یونی یک مول بر لیتر پرکلرات سدیم.

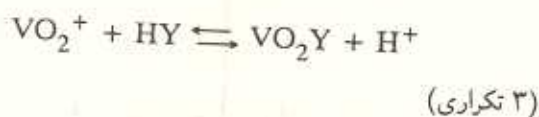
دما / °C	۲۵	۳۰	۳۵
$\log K_p \pm 0/05$	۸/۴۸	۸/۴۰	۸/۳۵

## ۲ - تشکیل کمپلکس از نوع MY

از بررسی‌های به عمل آمده می‌توان اطمینان یافت که وانادیم (V) در محیط‌های اسیدی یا  $pH < 2/5$  به صورت یون  $VO_2^+$  است (۲۵). از سوی دیگر، پولیمر شدن و هیدرولیز این یون در مواقعی که غلظت لیگاند نسبت به آن بسیار بالا باشد، در pHهای کوچکتر از ۷/۵ قابل صرف‌نظر کردن است. (۲۶).

جذب محلولهایی که در آنها غلظت  $VO_2^+$  ثابت و برابر با  $1/000 \times 10^{-2} M$  بود و اما غلظت سرین در آنها بین  $1/000 \times 10^{-2} M$  الی  $4/000 \times 10^{-2} M$  متغیر بود مطالعه شد و دیده

چون ثابت پروتونه شدن سرین بزرگ است (جدول ۱)، می‌توان نتیجه گرفت که HY در گستره pH های اسیدی، به عنوان گونه غالب باشد (HY سرین را می‌رساند). از این رو، در معادله‌های (۳) و (۴) ممکن است داشته باشیم  $I=1$  و  $m=0$  و  $n=1$  و از آنجا



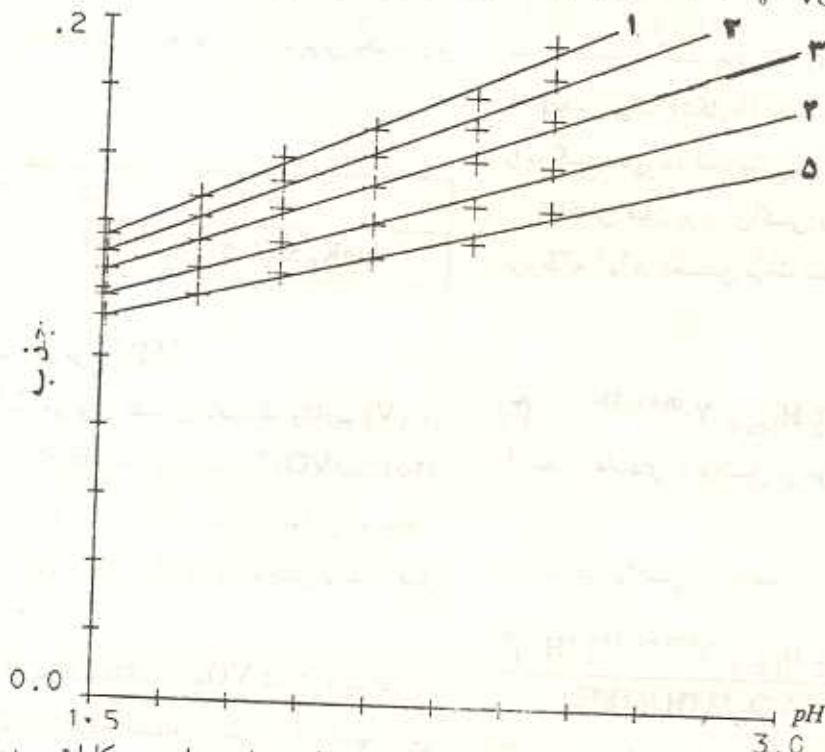
$$K_{VO_2Y}^H = \frac{[VO_2Y][H^+]}{[VO_2^+][HY]} \quad (۴ \text{ تکراری})$$

با فرض اینکه در هر یک از گستره‌هایی که جذب با pH تغییر می‌کند، فقط یک گونه کمپلکس تشکیل شود، می‌توان از معادله به شرح زیر برای تجزیه و تحلیل تغییرات جذب با pH استفاده کرد (۱۶)

در حالی که  $C_{VO_2}$  و  $C_{HY}$  به ترتیب غلظتهای مولی اولیه فلز و لیگاند را می‌رساند،  $\epsilon_0$  و  $\epsilon_1$  به ترتیب ضرایب جذب مولی یون فلزی و کمپلکس است، و A جذب محلول می‌باشد. بدین ترتیب چنانچه تغییرات  $C_{VO_2}/A$  نسبت به  $[H^+]^n / (A - \epsilon_0 C_{VO_2})$  رسم شود و از آن خط راستی به دست آید، تشکیل کمپلکس مورد مطالعه بر اساس معادله (۳) مورد تصدیق قرار می‌گیرد. تغییرات یاد شده برای سیستم "سرین- $VO_2^+$ " با انتخاب n های مختلف ترسیم شده و تنها در ازای  $n=1$  خطی در آمد. پس فرمول کمپلکس تشکیل شده در گسترده  $1 \leq pH \leq 2/5$  می‌تواند به صورت  $VO_2Y$  باشد. از روی عرض از مبدا ترسیم مورد اشاره، به مقادیر  $\epsilon_1$  در دمای آزمایش و در طول موج به کار رفته می‌رسیم (جدول ۳).

چون  $VO_2^+$  نیز در طول موجهای مورد مطالعه دارای جذب است، ضرایب جذب مولی آن به کمک اندازه‌گیریهای مستقل تعیین شد. (جدول ۲ و شکل ۲ به عنوان نمونه)

$$\frac{C_{VO_2}}{A} = \frac{1}{\epsilon_1} + \frac{(\epsilon_1 - \epsilon_0) (A - \epsilon_0 C_{VO_2}) [H^+]^n}{\epsilon_1 K_{VO_2Y}^H (\epsilon_1 C_{HY} - \epsilon_0 C_{HY} - A + \epsilon_0 C_{VO_2}) \cdot A} \quad (۵)$$



شکل ۲ - نمایش تغییرات جذب  $VO_2^+$  بر حسب pH در قدرت یونی یک مول بر لیتر پیرکلرات سدیم در  $30^\circ C$  و در طول موجهای (۱) ۲۶۰، (۲) ۲۶۵، (۳) ۲۷۰، (۴) ۲۷۵، (۵) ۲۸۰ نانومتر.  $C_{VO_2} = 1/1000 \times 10^{-4} M$

جدول ۲ میانگین ضرایب جذب مولی  $\epsilon_0$ ،  $\epsilon_1$ ،  $\epsilon_2$  در دماها و طول موجهای مختلف و قدرت یونی یک مول بر لیتر پرکلرات سدیم و در شرایط  $C_{VO_2} = 1/0000 \times 10^{-4} M$

دما/°C	$\lambda/nm$	۲۶۰	۲۶۵	۲۷۰	۲۷۵
۲۵		۵۲۳	۲۸۲	۴۲۹	۳۶۸
۳۰		۵۹۵	۵۵۱	۴۸۷	۴۱۳
۳۵		۷۰۴	۶۳۸	۵۶۳	۴۷۶

اکنون اگر  $\bar{\epsilon}$  را مطابق معادله زیر تعریف کنیم (۲۷)

$$\bar{\epsilon} = \frac{\epsilon_0[VO_2^+]}{[VO_2^+] + [VO_2Y]} + \frac{\epsilon_1[VO_2Y]}{[VO_2^+] + [VO_2Y]} \quad (۶)$$

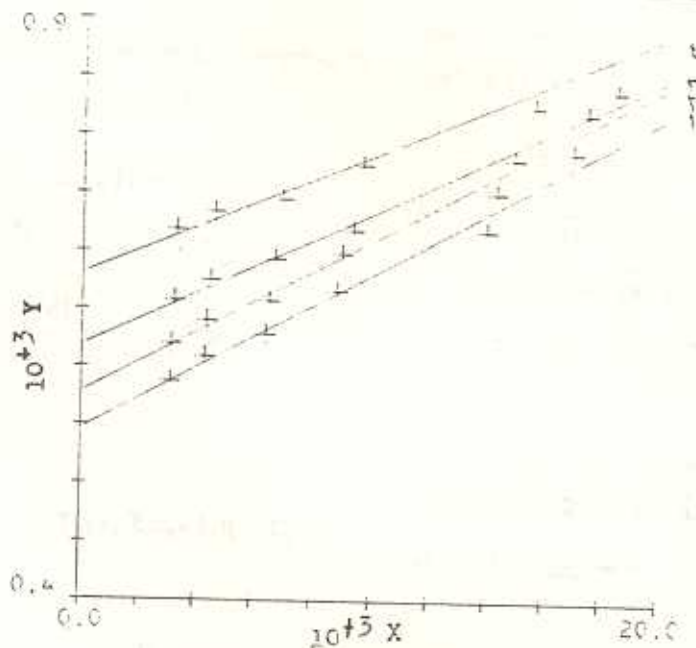
به کمک آن می‌توانیم متوسط نسبت تعداد لیگاند به یون فلزی را که با  $\bar{n}$  نشان می‌دهند به شرح زیر بدست آوریم

$$\bar{n} = \frac{\bar{\epsilon} - \epsilon_0}{\epsilon_1 - \epsilon_0} \quad (۷)$$

جدول ۳ - میانگین ضرایب جذب مولی کمپلکس  $VO_2Y$  در چند دما و در طول موجهای مختلف و در قدرت یونی یک مول بر لیتر پرکلرات سدیم و در غلظتهای  $C_{VO_2} = 1/0000 \times 10^{-4} M$  و  $C_{HY} = (1/0000 - 4/0000) M$

دما/°C	$\lambda/nm$	۲۶۰	۲۶۵	۲۷۰	۲۷۵
۲۵		۲۶۱۲	۲۴۳۷	۲۲۴۲	۲۰۳۲
۳۰		۲۴۱۵	۲۲۴۷	۲۰۶۲	۱۷۹۵
۳۵		۲۲۵۲	۲۰۹۷	۱۸۹۰	۱۷۱۵

مقدار  $\bar{n}$  برای کمپلکس  $VO_2Y$  در  $1 \leq pH \leq 2/5$  برابر با  $0/98$  به دست می‌آید که مؤید تشکیل کمپلکس ۱:۱ است و در نتیجه ثابت تشکیل  $K^H_{VO_2Y}$  در واکنش (۳) به کمک شیب معادله (۵) به دست خواهد آمد که مقادیر آن در جدول (۴) داده شده است.



شکل ۳- نمایش تغییرات  $10^3 Y = 10^3 C_{VO_2} / A$  بر حسب  $10^5 X = 10^5 (A - \epsilon_0 C_{VO_2}) [H]^+ / A$  در طول موجهای (۱) ۲۶۰، (۲) ۲۶۵، (۳) ۲۷۰، (۴) ۲۷۵ نانومتر و در دمای ۳۰°C.

$$\varepsilon_1[\text{VO}_2\text{Y}] + \varepsilon_2[\text{VO}_2\text{Y}_2^-] \quad (11)$$

$$= [\text{VO}_2\text{Y}] + [\text{VO}_2\text{Y}_2^-] \quad (12)$$

$$= [\text{HY}] + 2[\text{VO}_2\text{Y}_2^-] \quad (13)$$

به معادله (۱۴) می‌رسیم که در آن  $\varepsilon_2$  ضریب جذب مولی که  $\text{VO}_2\text{Y}_2^-$  است.

با رسم نمایش تغییرات  $y = C_{\text{VO}_2}/A$  بر  $x = (A - \varepsilon_1 C_{\text{VO}_2}) [\text{H}^+]/A$  خط مستقیمی به می‌آید، شکل (۴)، که نشان دهنده تشکیل یک گونه کمپلکس در فرمول  $\text{VO}_2\text{Y}_2^-$  است.  $\varepsilon_2$  از روی عرض از مبدا این خط محاسبه است که مقادیر آن در جدول (۶) داده شده است.

جدول ۶- میانگین ضرایب جذب مولی کمپلکس  $\text{VO}_2\text{Y}_2^-$  در دما و در طول موجهای مختلف و در قدرت یونی یک مول بر لیتر پیرکلرات سدیم، در غلظتهای  $1/1000 \times 10^{-4} \text{M}$   $C_{\text{HY}} = 1/1000 \times 10^{-4} \text{M}$

دما / °C	$\lambda/\text{nm}$	۲۶۰	۲۶۵	۲۷۰	۲۷۵
۲۵		۲۷۳۸	۲۷۸۶	۳۶۳۸	۳۲۳۶
		۳۶۱۱	۳۶۴۱	۳۴۷۵	۳۰۸۱
		۳۷۳۳	۳۸۳۸	۳۶۹۰	۳۳۰۵

می‌توان با مرتب کردن معادله (۶)، در گستره pH الی میانگین تعداد لیگاند به فلز،  $\bar{n}$  را در کمپلکس  $\text{VO}_2\text{Y}_2^-$  معادله (۱۵) تعیین نمود.

$$\frac{C_{\text{VO}_2}}{A} = \frac{1}{\varepsilon_2} + \frac{(\varepsilon_2 - \varepsilon_1) (A - \varepsilon_1 C_{\text{VO}_2}) [\text{H}^+]}{K^{\text{H}}_{\text{VO}_2\text{Y}_2} \varepsilon_2 (\varepsilon_2 C_{\text{HY}} - \varepsilon_1 C_{\text{HY}} - \varepsilon_2 C_{\text{VO}_2} - 2\varepsilon_1 C_{\text{VO}_2} + 3A) A} \quad (14)$$

جدول ۴- میانگین مقادیر  $\log K^{\text{H}}_{\text{VO}_2\text{Y}}$  در دماهای مختلف.

دما / °C	۲۵	۳۰	۳۵
$\log K^{\text{H}}_{\text{VO}_2\text{Y}}$	۰/۵۱	۰/۴۵	۰/۳۲

با توجه به معادله (۸) و در دست داشتن  $K_p$  و  $K^{\text{H}}_{\text{VO}_2\text{Y}}$  ثابتهای پایداری کمپلکس  $\text{VO}_2\text{Y}$  در دماهای آزمایش محاسبه خواهد شد، (جدول ۵).

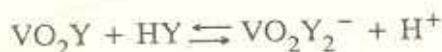
$$K_{\text{VO}_2\text{Y}} = \frac{[\text{VO}_2\text{Y}]}{[\text{VO}_2^+][\text{Y}]} = K^{\text{H}}_{\text{VO}_2\text{Y}} \cdot K_p \quad (8)$$

جدول ۵- میانگین مقادیر  $\log K_{\text{VO}_2\text{Y}}$  در دماهای مختلف.

دما / °C	۲۵	۳۰	۳۵
$\log K_{\text{VO}_2\text{Y}}$	۸/۹۸	۸/۸۵	۸/۷۰

### ۳- تشکیل کمپلکس $\text{MY}_2$

با توجه به شکل (۱)، احتمال تشکیل گونه دیگری از کمپلکس در محدوده pH الی ۹ مطابق معادله زیر قوت می‌گیرد



ثابت تشکیل این گونه کمپلکس به صورت زیر داده می‌شود

$$K^{\text{H}}_{\text{VO}_2\text{Y}_2} = \frac{[\text{VO}_2\text{Y}_2^-][\text{H}^+]}{[\text{VO}_2\text{Y}][\text{HY}]} \quad (10)$$

با در نظر گرفتن تساویهای (۱۱ الی ۱۳) در گستره pH الی ۹

شده است.

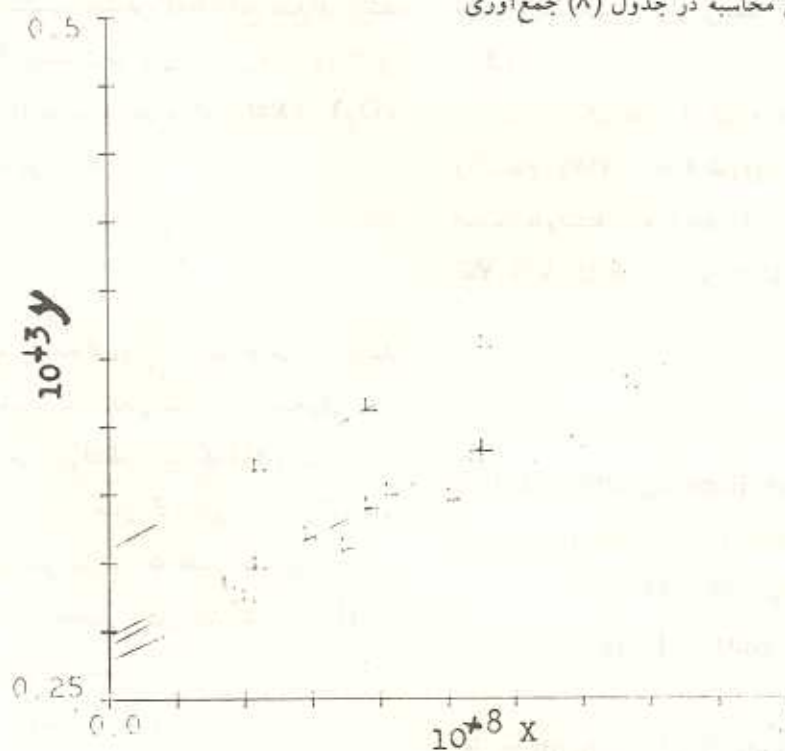
$$K_{VO_2Y} = \frac{[VO_2Y_2]}{[VO_2^+][Y]^2} = K_{VO_2Y}^H K_{VO_2Y_2}^H K_p^2 \quad (16)$$

جدول ۸- میانگین مقادیر  $\log K_{VO_2Y_2}$  در چند دما.

دما/°C	۲۵	۳۰	۳۵
$\log K_{VO_2Y_2}$	۱۱/۵۲	۱۱/۶۲	۱۱/۷۲

۴- تعیین برخی توابع ترمودینامیکی تشکیل کمپلکسهای  $VO_2Y$  و  $VO_2Y_2^-$

به کمک نتایج جمع‌آوری شده در جدولهای ۵ و ۸ در مورد بستگی ثابتهای پایداری با دما، می‌توان مقادیر  $\Delta H^\circ$ ،  $\Delta S^\circ$  و  $\Delta G^\circ$  وابسته به واکنشهای تشکیل کمپلکسهای  $VO_2Y$  و  $VO_2Y_2^-$  را تخمین زد. نتایج حاصل از آن در جدول (۹) داده شده است.



شکل ۴- نمایش تغییرات  $y = C_{VO_2} / A$  بر حسب  $x = (A - \epsilon_1 C_{VO_2})[H]^+ / A$  در  $35^\circ C$  و قدرت یونی یک مول بر لیتر پرکلرات سدیم در طول موجهای (۱) ۲۶۰، (۲) ۲۶۵، (۳) ۲۷۰، (۴) ۲۷۵ نانومتر.

$$\bar{n} = \frac{\bar{\epsilon} - \epsilon_2 - 2\epsilon_1}{\epsilon_2 - \epsilon_1} \quad (15)$$

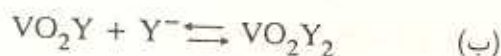
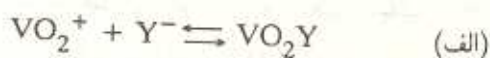
از این راه مقدار  $\bar{n}$  برای کمپلکس  $VO_2Y_2^-$  در محدوده pH یاد شده برابر با ۱/۹۵ به دست می‌آید. این جواب مزید تشکیل کمپلکس ۱:۲ است. از این رو، ثابت تشکیل در واکنش (۹)،  $K_{VO_2Y_2}^H$  از شیب معادله (۱۴) قابل تخمین است. مقادیر حاصل از این تخمین در جدول (۷) داده شده است.

جدول ۷- میانگین مقادیر  $\log K_{VO_2Y_2}^H$  در دماهای مختلف.

دما/°C	۲۵	۳۰	۳۵
$-\log K_{VO_2Y_2}^H$	۶/۰۱	۵/۶۳	۵/۳۶

با توجه به معادله (۱۶) می‌توان ثابت پایداری کمپلکس  $VO_2Y_2^-$  را از نتایج جمع‌آوری شده در جدول (۷) و مقادیر  $K_{VO_2Y_2}^H$  و  $K_p$  حساب کرد جوابهای حاصل از این محاسبه در جدول (۸) جمع‌آوری

با تکیه بر دلایلی که برای واکنش (۱۷) بیان شد، پیش‌بینی می‌شود که مقدار مثبتی باشد. در خصوص  $\Delta H^\circ$  محاسبات این مقاله مثبت بودن آن را اعلام می‌کند. برای توجیه این نتیجه تجربی می‌توان واکنش (۱۸) را حاصل دو مرحله زیر در نظر گرفت.



همانطور که در خصوص واکنش (۱۷) پیش‌بینی شد، تغییر آنتالپی وابسته به مرحله (الف) منفی است، اما در مورد مرحله (ب) با توجه به ممانعت فضایی ناشی از حجیم بودن لیگاند و دافعه‌های واندروالسی ابرهای الکترونی گونه‌های شرکت‌کننده در کمپلکس، انتظار می‌رود که واکنش تشکیل گونه  $\text{VO}_2\text{Y}_2^-$  از  $\text{VO}_2\text{Y}$  و  $\text{Y}^-$  گرماگیر باشد.  $\Delta H^\circ$  این مرحله با استفاده از نتایج تجربی به دست آمده برای واکنشهای (۳) و (۵) در این پژوهش، قابل تخمین است. محاسبه نشان می‌دهد که این  $\Delta H^\circ$  مثبت است و مقدار آن چنان است که  $\Delta H^\circ$  منفی مربوط به واکنش (۱۷) را تحت الشعاع قرار می‌دهد و در نتیجه  $\Delta H^\circ$  واکنش (۱۸) مثبت می‌گردد.

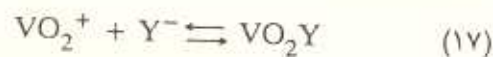
در هر حال، تغییر آنتالپی و تغییر آنتروپی استاندارد وابسته به واکنشهای (۱۷) و (۱۸) طوری است که تغییر انرژی آزاد گیبس استاندارد وابسته به آنها منفی است و در ضمن پایداری کمپلکس  $\text{VO}_2\text{Y}_2^-$  ناشی از مثبت بودن  $\Delta S^\circ$  آن است.

جدول ۹ - مقادیر  $\Delta H^\circ$ ،  $\Delta S^\circ$  و  $\Delta G^\circ$  برای تشکیل کمپلکسهای  $\text{VO}_2\text{Y}$  و  $\text{VO}_2\text{Y}_2^-$ .

گونه مورد نظر	$\Delta H^\circ$ kJ/mol	$\Delta S^\circ$ J/mol K	$\Delta G^\circ$ kJ/mol
$\text{VO}_2\text{Y}$	-۴۹/۴	۷/۱	-۵۱/۳
$\text{VO}_2\text{Y}_2^-$	۳۵	۳۳۹	-۶۶

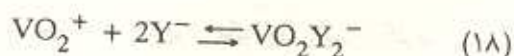
### بحث

از دقت نمودن در شکل (۱) که تغییرات جذب محلول دارای  $\text{VO}_2^+$  و  $\text{HY}$  با pH را نشان می‌دهد، آشکار می‌شود که جذب محلول در pHهای بین ۱ تا ۲/۵ و ۶ الی ۹ شدیداً تابع pH است. از این نکته می‌توان به تشکیل دو گونه کمپلکس پی‌برد. همانطور که پیش از این استدلال شد، این دو گونه به احتمال قوی یکی  $\text{VO}_2\text{Y}$  و دیگری  $\text{VO}_2\text{Y}_2^-$  است. گذشته از آن، دیده می‌شود که جذب کمپلکس تشکیل شده در pHهای مابین ۶ الی ۹ بیشتر از کمپلکس تشکیل شده در pHهای مابین ۱ الی ۲/۵ است و جذب این آخری به نوبه خود بیش از جذب  $\text{VO}_2^+$  است. بدین ترتیب، همانطور که از نتایج جمع‌آوری شده در جدولهای (۲)، (۳) و (۶) پیداست می‌توان ترتیب  $\epsilon_2 > \epsilon_1 > \epsilon_0$  را مورد تأیید قرار داد. از دقت نمودن در واکنش تشکیل  $\text{VO}_2\text{Y}$  می‌توان به نتیجه‌گیریهای جالبی رسید



کمپلکس تشکیل شده به دلیل بار مخالف واکنش دهنده‌ها می‌تواند پایدار باشد. این پایداری با استفاده از یک مدل ساده الکتروستاتیکی قابل توضیح است. با توجه به آن، می‌توان انتظار داشت که  $\Delta H^\circ$  واکنش (۱۷) منفی باشد. از نظر  $\Delta S^\circ$ ، چون اتمسفر حلالی گونه‌های باردار از گونه‌های بدون بار منظم‌تر است، پیش‌بینی می‌شود که تغییر آنتروپی وابسته به واکنش (۱۷) مثبت باشد. نتایج حاصل از این کار منفی بودن  $\Delta H^\circ$  و مثبت بودن  $\Delta S^\circ$  یاد شده را تأیید می‌کند.

تغییر آنتروپی استاندارد،  $\Delta S^\circ$ ، وابسته به واکنش



### REFERENCES

- N. D. Chasteen, Struct. Bonding, 1983, 53, 105.  
 K. Kustin, G.C. Meleod, T. R. Gilbert and R. Briggs, Struct. Bonding, 1983, 53, 139.  
 D. W. Boyd and K. Kustin, Inorg. Biochem., 1984, 6, 311.  
 R. L. Robson, R. R. Eady, T. H. Richardson, R. W. Miller, M. Hawkins and J. R. Postgate, Nature, 1986, 322, 388



- 5- E. de Bore, Y. V. Kooyk, M. G. M. Tromp, H. plat and R. Wever, *Biochem. Biophys. Acta*, 1986, 869, 48
- 6- R. C. Bruening, E. M. Oltz, J. Furukawa, K. Nakanishi and K.Kustin, *J. Am. Chem. Soc.*, 1985, 107, 5298.
- 7- R. J. Seltzer, *Chem. Engng. News*, 1985 63, 67.
- 8- P. Frank, R. M. K. Carlson and K. O. Hodgson, *Inorg. Chem.*, 1986, 25, 470.
- 9- S. G. Brand, C. J. Hawkins and D. L. Parry, *Inorg. Chem.*, 1987, 26, 627.
- 10- R. D. Gillard and R.J.Lancashire, *Phytochem.*, 1984, 23 179.
- 11- J. Felcman, M. C. T. A. Vaz and J. J. R. Frausto da Silva, *Inorg. Chim. Acta*, 1984, 93, 101.
- 12- H. Kneifel and E. Bayer, *J. Am. Chem. Soc.*, 1986, 108, 3075.
- 13- G . Andergg. E. Koch and E. Bayer, *Inorg. Chim. Acta*, 1987, 127, 183.
- 14- M. A. Nawi and T. L. Riechel, *Inorg. Chim. Acta*, 1987, 136, 33.
- 15- L. F. Vilas - Boas and J.Costa Pessoa, *Comprehensive Coordination Chemistry*, Pergamon Press, Oxford, 1987.
- 16- F. Charib, S. A. Khorrami and K. Zare, *J. Chem. Eng. Data*, 1993, 38, 602.
- 17- S. A. Khorrami, F. Gharib, K. Zare and H. Aghai, *Iran, J. Chem. Eng.*, 1992, 11, 19.
- 18- F. Gharib, K. Zare and S. A. Khorrami, *J. Sci. Az - Zahra Univ.*, 1994, 1, 33
- 19- L. D. Pettit and J. L. Swash, *J. Chem. Soc. Dalton Trans.*, 1976, 2416.
- 20- P. Grenouillet, R. P. Martin, A. Rossi and M. Ptak, *Biochem. Biophys. Acta*, 1973, 322, 185.
- 21- D. A. Metzler, *Biochemistry, The Chemical Reactions of living Cells*, Academic Press, New York, 1977.
- 22- J. Costa Pessoa, L. F. Vilas Boas and R. D. Gillard, *Polyhedron*, 1989, 8, 9, 1172.
- 23- G. Charlot, *Les Methods de la Chimie Analytique, Analyze Quantitative*, 4th. Ed., Masson, Paris, 1961.
- 24- J. Lagrange, K. Aka and P. Lagrange, *J. Chem. Soc. Dalton Trans.*, 1984, 239.
- 25- F. A. Cotton and G. Wilkinson, *Advanced Inorganic Chemistry*, John Wiley & Sons, 3th. Ed., New York, 1972.
- 26- K. Zare, J. Lagrange and P.Lagrange, *Inorg. Chem.*, 1979, 18, 568.
- 27- M. T. Beck and I. Nagypal, *Chemistry of Complex Equilibria*, Ellis Horwood limited, New York, 1990.